

## 基础研究

# 利用 RNAi 技术稳定抑制 ER $\beta$ 表达的人成骨细胞株 hFOB 1.19 细胞模型的建立

邓 盍, 张宏其, 郭超峰, 唐明星, 刘少华, 王昱翔, 高琪乐

(中南大学湘雅医院脊柱外科 湘雅脊柱外科中心 410008 长沙市)

**【摘要】目的:**探讨利用 RNA 干扰(RNA interference, RNAi)技术稳定抑制雌激素受体  $\beta$ (Estrogen receptor  $\beta$ , ER $\beta$ )表达建立人成骨细胞株 hFOB 1.19 细胞模型的可行性。**方法:**设计 3 种特异性 ER $\beta$ -shRNA, 体外合成后将其克隆入 pRNAT-H1.4/Retro 逆转录病毒质粒中, 并包装成逆转录病毒;ER $\beta$ -shRNA 逆转录病毒瞬时感染 hFOB 1.19 细胞后, 通过流式细胞仪检测感染效率, 并使用半定量 RT-PCR 和 Western blot 检测对 ER $\beta$  mRNA 和蛋白表达的抑制效率;然后取 ER $\beta$  抑制效率最高的 hFOB 1.19 细胞, 通过抗性筛选, 将得到稳定感染的细胞扩大培养, 再通过半定量 RT-PCR 和 Western blot 检测 ER $\beta$  稳定抑制的效率;并应用 MTT 法检测 ER $\beta$  稳定抑制后对细胞增殖的影响。**结果:**成功构建了 3 种 ER $\beta$ -shRNA 逆转录病毒载体;流式细胞仪检测结果显示, 瞬时感染效率均高达 70% 以上;ER $\beta$ -shRNA-1、ER $\beta$ -shRNA-2、ER $\beta$ -shRNA-3 逆转录病毒载体对 hFOB 1.19 细胞中 ER $\beta$  mRNA 的抑制率分别为  $(54.56 \pm 0.95)\%$ 、 $(69.60 \pm 1.12)\%$ 、 $(76.49 \pm 1.15)\%$ , 蛋白的抑制率分别为  $(59.21 \pm 4.44)\%$ 、 $(78.35 \pm 2.00)\%$ 、 $(85.60 \pm 2.66)\%$  (均  $P < 0.05$ );成功筛选出稳定感染 ER $\beta$ -shRNA-3 逆转录病毒载体的 hFOB 1.19 细胞, ER $\beta$  mRNA 和蛋白的抑制率分别为  $(83.23 \pm 2.45)\%$  和  $(93.11 \pm 0.57)\%$  (均  $P < 0.05$ ), MTT 法检测显示 ER $\beta$  稳定抑制后对细胞的增殖没有明显影响( $P > 0.05$ )。**结论:**利用 RNAi 技术可成功建立 ER $\beta$  稳定抑制的 hFOB 1.19 细胞模型。

**【关键词】** RNA 干扰; 雌激素受体  $\beta$ ; 人成骨细胞

doi: 10.3969/j.issn.1004-406X.2012.08.12

中图分类号: Q813.1 文献标识码: A 文章编号: 1004-406X(2012)-08-0722-07

**Establishment of the cell model of human osteoblast cell line hFOB 1.19 in which ER $\beta$  expression stably inhibited by RNAi/DENG Ang, ZHANG Hongqi, GUO Chaofeng, et al//Chinese Journal of Spine and Spinal Cord, 2012, 22(8): 722-728**

**[Abstract]** **Objectives:** To study the establishment of the cell model of human osteoblast cell line hFOB 1.19 in which estrogen receptor  $\beta$  (ER $\beta$ ) expression was stably inhibited by RNA interference (RNAi). **Methods:** Three designed ER $\beta$ -shRNA sequences were synthesized and cloned into the expression vectors of pRNAT-H1.4/Retro, then packaged into retrovirus. After transfection of hFOB 1.19 by ER $\beta$ -shRNA retroviral vectors, the transfection rates were measured by flow cytometry, and the inhibition rates of ER $\beta$  mRNA and protein were measured by semi-quantitative RT-PCR and Western-blot respectively. The hFOB 1.19 of the most efficient inhibition of ER $\beta$  was selected by hygromycin and cultured for proliferation. The stable inhibition rates of ER $\beta$  were measured by semi-quantitative RT-PCR and Western-blot respectively. The MTT method was used to measure the influence on the cell proliferation when ER $\beta$  expression was stably inhibited. **Results:** Three ER $\beta$ -shRNA retroviral vectors were constructed successfully and packaged into high efficient retrovirus. The results of flow cytometry showed that the transfection rates were all higher than 70%. By ER $\beta$ -shRNA-1, ER $\beta$ -shRNA-2 and ER $\beta$ -shRNA-3 retroviral vectors, the inhibition rate of ER $\beta$  mRNA in hFOB 1.19 was  $(54.56 \pm 0.95)\%$ ,  $(69.60 \pm 1.12)\%$  and  $(76.49 \pm 1.15)\%$  respectively, while the inhibition rate of ER $\beta$  protein was  $(59.21 \pm 4.44)\%$ ,  $(78.35 \pm 2.00)\%$  and  $(85.60 \pm 2.66)\%$  respectively(all  $P < 0.05$ ). The hFOB 1.19 stably transfected

基金项目:湖南省自然科学基金项目(08JJ3057);湖南省科技厅科技计划一般项目(08FJ3171)

第一作者简介:男(1983-), 博士, 医师, 研究方向:脊柱外科临床及相关基础研究

电话:(0731)89753001 E-mail:deng.aimar@163.com

通讯作者:张宏其 E-mail:zhq9996@163.com

by ER $\beta$ -shRNA-3 retroviral vector was selected successfully, the stable inhibition rate of ER $\beta$  mRNA and protein was (83.23±2.45)% and (93.11±0.57)% respectively(all  $P<0.05$ ), and the result of MTT method showed that there was no significant influence on the cell proliferation when ER $\beta$  expression was stably inhibited ( $P>0.05$ ). **Conclusions:** The cell model of hFOB 1.19 was established in which ER $\beta$  expression was stably inhibited.

**[Key words]** RNA interference; Estrogen receptor  $\beta$ ; Human osteoblast cell

**[Author's address]** Department of Spinal Surgery, Xiangya Hospital Affiliated to Central South University, Xiangya Spinal Surgery Center, Changsha, 410008, China

青少年特发性脊柱侧凸(adolescent idiopathic scoliosis, AIS)是指脊柱偏离身体中线向侧方凸出伴椎体旋转的三维畸形,发病率文献报道为0.5%~1%<sup>[1]</sup>。目前提出的假说包括基因遗传、神经系统平衡功能异常、神经内分泌异常以及躯干生长不平衡等。其中,遗传因素在AIS发展中的作用已经得到广泛认同<sup>[2]</sup>。近年研究发现,AIS患者常伴有全身性的骨密度降低等骨代谢异常现象<sup>[3]</sup>,且认为AIS患者的低骨量、骨质疏松可能与雌激素受体(estrogen receptor,ER)基因有关<sup>[4]</sup>,我们的前期研究亦证明,雌激素受体 $\beta$ (ER $\beta$ )基因多态性与AIS发生发展有关<sup>[5]</sup>。因此,我们拟利用RNA干扰(RNA interference, RNAi)技术建立ER $\beta$ 稳定抑制的人成骨细胞株hFOB 1.19细胞模型,为进一步从细胞水平探索ER $\beta$ 基因在AIS骨代谢中的作用及调控机制奠定基础。

## 1 材料和方法

### 1.1 材料

人成骨细胞株hFOB 1.19购自中国科学院细胞库,逆转录病毒质粒pRNAT-H1.4/Retro(Catalogue No.:SD1253)及GP2-293包装细胞购自南京金斯瑞公司,JM109大肠杆菌为中南大学医学遗传学国家重点实验室赠送,LA Taq酶(Takara公司)、无酚红DMEM/F-12培养液(Gibco公司)、胎牛血清(Invitrogen公司)、二甲亚砜(dimethyl sulfoxide, DMSO)(Sigma公司)、NucleoBond<sup>R</sup> Xtra Maxi(MACHELEY-NAGEL公司)、Trizol裂解液(Invitrogen公司)、逆转录试剂盒(Promega公司)、潮霉素(Roche公司)、兔抗人ER $\beta$ 一抗(Santa Cruz公司)、鼠抗人 $\beta$ -actin一抗(Sigma公司)、四氮唑蓝盐MTT溶液(Sigma公司),所有引物由上海生物工程公司合成。

### 1.2 人ER $\beta$ 特异性短发夹RNA(short hairpin RNA, shRNA)序列的设计

登陆Genebank网获得人ER $\beta$ 基因的CDS序列(编号:32096.1),根据小干扰RNA(small interfering RNA, siRNA)设计原则,针对所选择的人ER $\beta$ 基因RNAi靶序列,在因特网(网址:<http://www.ambion.com/techlib/misc/siRNADesign.html>)上设计了3条长度为19bp的siRNA片段,并通过BLAST软件验证其正确性。将设计的19bp干扰片断反义互补,中间以9bp的loop区相隔,两端为保护碱基以及Xho I和Mlu I酶切黏性末端,合成70bp的互补shRNA序列以备定向克隆人pRNAT-H1.4/Retro。含无效干扰片断(ER $\beta$ -shRNA-nc)的阴性对照pRNAT-H1.4/Retro购自南京金斯瑞公司(表1)。

### 1.3 ER $\beta$ -shRNA逆转录病毒载体的构建、鉴定及包装

将合成的互补ER $\beta$ -shRNA序列各18 $\mu$ l、退火Buffer(10×)4 $\mu$ l混合后,90℃水浴4min,70℃10min,逐渐冷却至室温。然后用T4 DNA连接酶对退火产物和线性化的pRNAT-H1.4/Retro进行连接,体系为:线性化的pRNAT-H1.4/Retro(100ng/ $\mu$ l)1 $\mu$ l、退火的双链DNA(100ng/ $\mu$ l)1 $\mu$ l、缓冲液1 $\mu$ l、T4 DNA连接酶1 $\mu$ l、dd H<sub>2</sub>O 6 $\mu$ l,总体积10 $\mu$ l,16℃进行连接过夜。连接产物转化至JM109感受态细菌,氨苄青霉素抗性平板上筛选重组质粒及扩大培养,抽提质粒并纯化,将重组质粒进行测序(华大基因科技公司)。然后pRNAT-H1.4/Retro重组质粒10 $\mu$ g、PVS-G载体10 $\mu$ g与相应体积的DMEM混匀,总体积2.5ml,室温下温育5min;同时100 $\mu$ l Lipofectamine 2000与2.4ml DMEM混合,室温下温育5min;把稀释后的重组质粒与Lipofectamine 2000混匀,室温下温育20min;再将上述混合液移至293包装细胞的培养液中混匀,于37℃、5%CO<sub>2</sub>培养箱中培养8h后,更换为新鲜完全培养基,继续培养48h;收集上清液并离心、过滤及浓缩。

**表 1 ER $\beta$ -shRNA 序列的设计**  
**Table 1 Sequence design of ER $\beta$ -shRNA**

逆转录病毒重组质粒 Recombinant retroviral vector	靶序列 Target sequence	克隆入载体序列 Sequence cloned into vector
ER $\beta$ -shRNA-1	5'-GGCCTCTAAACACTCAC-3'	F:5' -ACGCCGTCGGCCTCTCAAACACTCACCTCAAGAGAGGTGAGTGTGTTGA GAGGCCTTTTCCAACTCGAG-3' R:5' -CTCGACTTGAAAAAAGGCCTCTCAAACACTCACCTCTCTGAAGGTG AGTGTGTTGAGAGGCCGACCGT-3'
ER $\beta$ -shRNA-2	5'-GCAACGATGGAGCAGTGAC-3'	F:5' -ACGCCGTCGCAACGATGGAGCAGTGACTCAAGAGAGTCAGTGCCTCAT CGTTGCTTTTCCAACTCGAG-3' R:5' -CTCGAGITGGAAAAAACGAAACGATGGAGCAGTGACTCTCTGAAG TCACTGCTCCATCGTCGACCGT-3'
ER $\beta$ -shRNA-3	5'-GACGGATTCTCTTCAGATG-3'	F:5' -ACGCCGTCGACGGATTCTCTTCAGATGTTCAAGAGACATCTGAAGAGAA TCCGCTTTTCCAACTCGAG-3' R:5' -CTCGAGITGGAAAAAGACGGATTCTCTTCAGATGTCCTCTGAACA TCTGAAGAGAACGCGT-3'
ER $\beta$ -shRNA-nc	5'-TTCTCCGAACGTGTCACGT-3'	F:5' -CCGGTTCTCCGAACGTGTCACGTTCAAGAGAACGTGACACGTTCGGA GAATTTC-3' R:5' -AATTCAAAAATTCTCCGAACGTGTCACGTTCTCTGAACACGTGACA CGTTGGAGAA-3'

#### 1.4 人成骨细胞株 hFOB 1.19 的瞬时感染

实验分 5 组: 空白对照组(即 hFOB 1.19, 未感染任何逆转录病毒)、阴性对照组(即 ER $\beta$ -shRNA-nc)、RNAi 组 1~3(即 ER $\beta$ -shRNA-1、ER $\beta$ -shRNA-2、ER $\beta$ -shRNA-3)。取对数生长期的 hFOB 1.19 细胞, 接种于 12 孔板, 于 34℃、5% CO<sub>2</sub> 培养箱中培养 12h, 将收集的逆转录病毒加 polybrene 至 5 μg/ml, 0.45 μm 微型滤器过滤, 分别加入上述细胞中, 24h 后更换为新鲜无酚红 DMEM/F-12 完全培养基, 恢复培养 24h 后, 通过流式细胞仪检测 GFP 荧光表达情况。

#### 1.5 半定量 RT-PCR 检测瞬时感染后 ER $\beta$ mRNA 的表达

Trizol 抽提瞬时感染后细胞的总 RNA, 根据逆转录试剂盒(Promega 公司)操作说明进行 RT 反应, 然后通过 PCR 反应扩增 ER $\beta$  目的基因。登陆 GeneBank 网, 获得 ER $\beta$  和  $\beta$ -actin mRNA 序列后, 在 Primer Premier 5.0 软件设计引物, ER $\beta$  上游引物为 5'-TCCTTAGTGGCCATCGC-3', 下游引物为 5'-CGCAGAACTGAGCATCCC-3', 扩增长度为 188bp; 内参照  $\beta$ -actin 上游引物为 5'-TGAAGTGTGACGTGGACATC-3', 下游引物为 5'-GGAGGAGCAATGATCTTGAT-3', 扩增长度为 151bp, 扩增条件为 95℃ 5min, 95℃ 30s, 60℃ 30s, 72℃ 60s, 以上 10 个循环(-0.8℃/循环), 然后 95℃ 30s, 52℃ 30s, 72℃ 60s, 以上 30 个循环, 最后 72℃ 10min。反应完成后通过凝胶成像测灰度行数据分析, 测定 ER $\beta$  与  $\beta$ -actin 扩增产物条

带的吸光度值, 并算出二者比值, 即各实验组 ER $\beta$  的相对表达量; ER $\beta$  的相对表达率=实验组 ER $\beta$  的相对表达量/空白对照组的相对表达量, 反之, 抑制率=1-相对表达率。每组设置 3 个复孔, 实验在相同条件下重复 3 次。

#### 1.6 半定量 Western blot 检测瞬时感染后 ER $\beta$ 蛋白的表达

细胞裂解液裂解瞬时感染后细胞, 提取总蛋白, 经 12% SDS-PAGE 电泳后转移到 PVDF 膜上, 封闭后与特异性一抗(兔抗人 ER $\beta$  抗体, Santa Cruz 公司; 鼠抗人  $\beta$ -actin 抗体, Sigma 公司)置于转速上, 100rpm, 室温下孵育 1h。洗一抗后再加二抗, 室温下孵育 1h, 加入 ECL 液, 暗室中曝光 2min, X 线片显影, 再通过凝胶成像测灰度行数据分析, 分析方法与 1.5 半定量 RT-PCR 相同。

#### 1.7 细胞筛选和克隆挑取、扩大及传代

实验分 3 组: 空白对照组(即 hFOB 1.19, 未感染任何逆转录病毒)、阴性对照组(即 ER $\beta$ -shRNA-nc)、最佳 RNAi 组。将瞬时感染后的 hFOB 1.19 细胞加入终浓度为 100 μg/ml 的潮霉素进行筛选, 直至未感染细胞全部死亡, 继续培养至 14d; 将培养皿随机放于显微镜下选取待克隆, 被选取的条件为在 4 倍目镜下大于半个显微镜视野, 随机的方法为镜下见到的第一个克隆; 将吸取的细胞克隆吹打到已加入维持培养基(潮霉素较原筛选浓度减半, 50 μg/ml) 的 24 孔板中, 继续扩大培养、传代。

### 1.8 半定量 RT-PCR 检测稳定感染克隆中 ER $\beta$ mRNA 的表达

检测方法同 1.5。

### 1.9 半定量 Western blot 检测稳定感染克隆中 ER $\beta$ 蛋白的表达

检测方法同 1.6。

### 1.10 MTT 法检测细胞增殖

取对数生长期的各实验组细胞,以 1000 个细胞/孔接种于 96 孔板中,每组设 3 个复孔,于 34℃、5%CO<sub>2</sub> 培养箱中培养;分别于 1、2、3、4、5、6、7d 进行检测。每孔加入 MTT(5mg/ml) 20μl,继续培养 4h;吸弃孔内培养基,加入 DMSO 150μl,室温振荡 10min,同时设置调零孔(培养基、MTT、DMSO),酶标仪上 490nm 测定各孔吸光度 OD 值,以 OD 值表示细胞增殖能力大小,各组取 3 孔平均值,相同条件下实验重复 3 次,绘制生长曲线。

### 1.11 统计学处理

采用 SPSS 15.0 统计软件进行分析。数据以均数±标准差( $\bar{x}\pm s$ )表示,组间差异比较采用单因素方差分析(ANOVA),方差齐性时采用 SNK 检验,方差不齐时采用 Dunnett'C 检验;以  $\alpha=0.05$  为显著性检验水准, $P<0.05$  认为差异有统计学意义。

## 2 结果

### 2.1 构建载体的鉴定

经过测序证实,合成的 ER $\beta$ -shRNA 寡核苷酸链已正确插入 pRNAT-H1.4/Retro 逆转录病毒重组质粒中,且无突变(图 1)。

### 2.2 逆转录病毒的包装

荧光显微镜观察 GFP 荧光表达情况,得知逆转录病毒重组质粒成功、高效地转染入 293 包装细胞(图 2)。

### 2.3 人成骨细胞株 hFOB 1.19 的瞬时感染

经流式细胞仪检测 ER $\beta$ -shRNA-nc、ER $\beta$ -shRNA-1、ER $\beta$ -shRNA-2、ER $\beta$ -shRNA-3 逆转录病毒感染的 hFOB 1.19 细胞,GFP 荧光表达效率分别为 71.12%、70.25%、72.13%、71.04%,说明逆转录病毒具有良好的细胞感染能力。

### 2.4 ER $\beta$ -shRNA 逆转录病毒瞬时感染后对 ER $\beta$ mRNA 的抑制作用

半定量 RT-PCR 的结果显示, RNAi 1~3 组

的 ER $\beta$  mRNA 的表达显著低于 ER $\beta$ -shRNA-nc 组(即阴性对照组)及 hFOB 1.19 组(即空白对照组)( $P<0.05$ )(图 3、表 2),抑制率分别为(54.56±0.95)%、(69.60±1.12)%、(76.49±1.15)% ,ER $\beta$ -shRNA-nc 组与 hFOB 1.19 组相比,无显著差别( $P>0.05$ )。

### 2.5 ER $\beta$ -shRNA 逆转录病毒瞬时感染后对 ER $\beta$ 蛋白表达的抑制作用

半定量 Western blot 结果显示, RNAi 1~3 组的 ER $\beta$  蛋白表达均显著低于 ER $\beta$ -shRNA-nc 组及 hFOB 1.19 组( $P<0.05$ )(图 4、表 2),抑制率分别为(59.21±4.44)%、(78.35±2.00)%、(85.60±2.66)%。ER $\beta$ -shRNA-nc 组与 hFOB 1.19 组相比,无显著差别( $P>0.05$ )。

### 2.6 稳定感染克隆中 ER $\beta$ mRNA 的表达

半定量 RT-PCR 检测稳定感染克隆,结果表明 ER $\beta$ -shRNA-3 组的 ER $\beta$ mRNA 的表达显著低于 ER $\beta$ -shRNA-nc 组及 hFOB 1.19 组( $P<0.05$ )(图 5、表 3),抑制率为(83.23±2.45)%;ER $\beta$ -shRNA-nc 组与 hFOB 1.19 组相比,无显著差别( $P>0.05$ )。

### 2.7 稳定感染克隆中 ER $\beta$ 蛋白的表达

半定量 Western blot 检测稳定感染克隆,结果表明 ER $\beta$ -shRNA-3 组的 ER $\beta$  蛋白的表达显著低于 ER $\beta$ -shRNA-nc 组及 hFOB 1.19 组( $P<0.05$ )(图 6、表 3),抑制率为(93.11±0.57)%;ER $\beta$ -shRNA-nc 组与 hFOB 1.19 组相比,无显著差别( $P>0.05$ )。

### 2.8 ER $\beta$ 稳定抑制后对 hFOB 1.19 细胞增殖的影响

MTT 法检测各实验组细胞的生长曲线表明:ER $\beta$  稳定抑制后对 hFOB 1.19 细胞的增殖没有明显影响( $P>0.05$ )(图 7)。ER $\beta$ -shRNA-nc 组与 hFOB 1.19 组相比亦无明显差异( $P>0.05$ )。因此,我们成功建立了 ER $\beta$  稳定抑制的 hFOB 1.19 细胞模型。

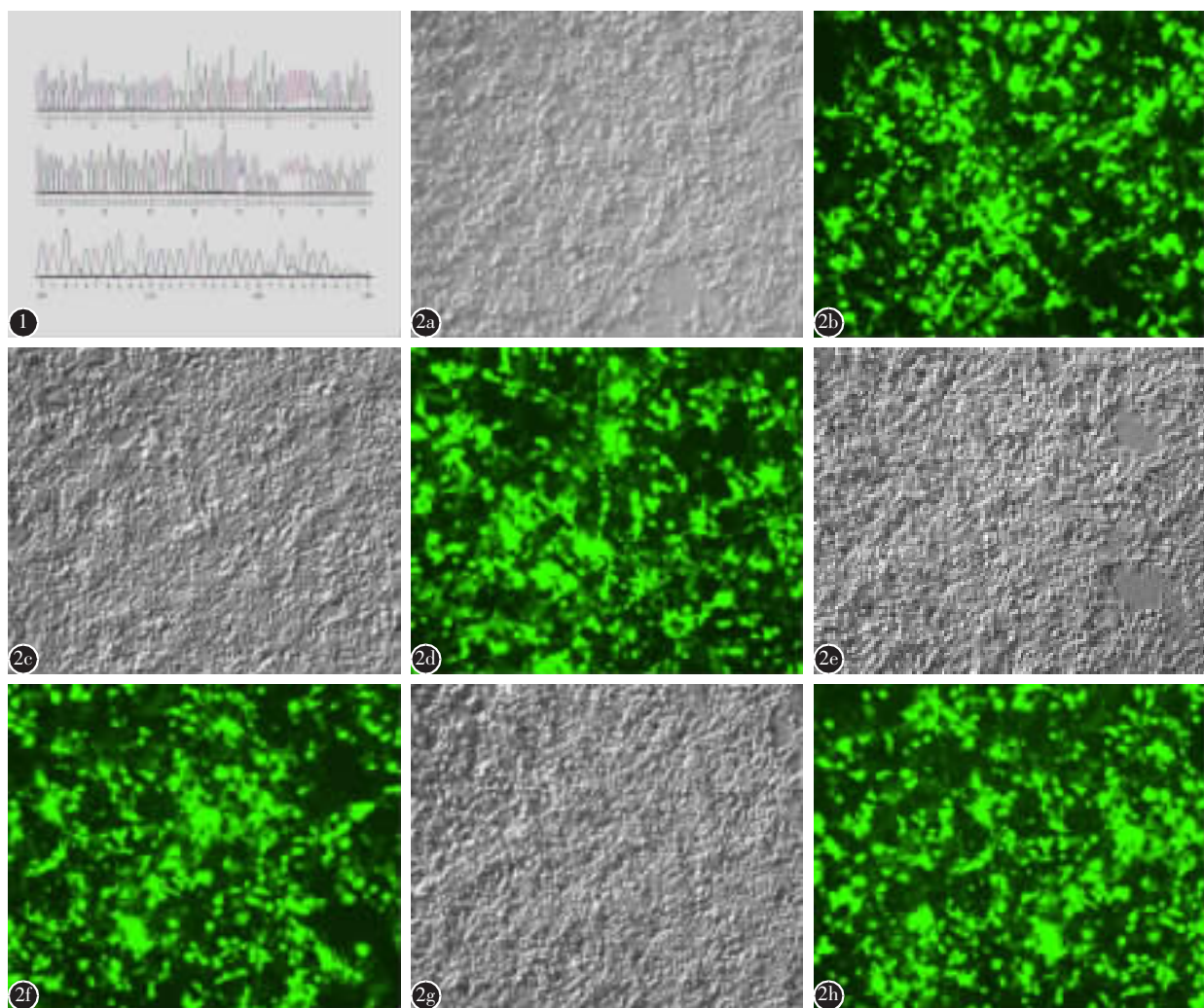
## 3 讨论

目前, RNAi 已成为探索基因功能和细胞信号通路的有力工具,它是通过内源性表达或外源性介导 siRNA,以序列特异性的方法抑制内源性基因的表达<sup>[6]</sup>。而 shRNA 的导入依赖于载体,现主要存在非病毒和病毒载体两大类。非病毒载体转

染效率低，持续时间比较短、难以稳定表达 shRNA；病毒载体主要以腺病毒和逆转录病毒载体最为成熟<sup>[7]</sup>，其中，逆转录病毒宿主范围广，感染效率高，并能使目的基因整合至靶细胞基因组中，达到稳定表达的目的。因此，本研究中我们将 ER $\beta$  靶基因的 shRNA 插入 pRNAT-H1.4/Retro 逆转录病毒质粒中，经测序鉴定表明，我们成功构建了 ER $\beta$ -shRNA 逆转录病毒重组质粒，随后将其高效转染入 293 包装细胞，为包装高效率的逆

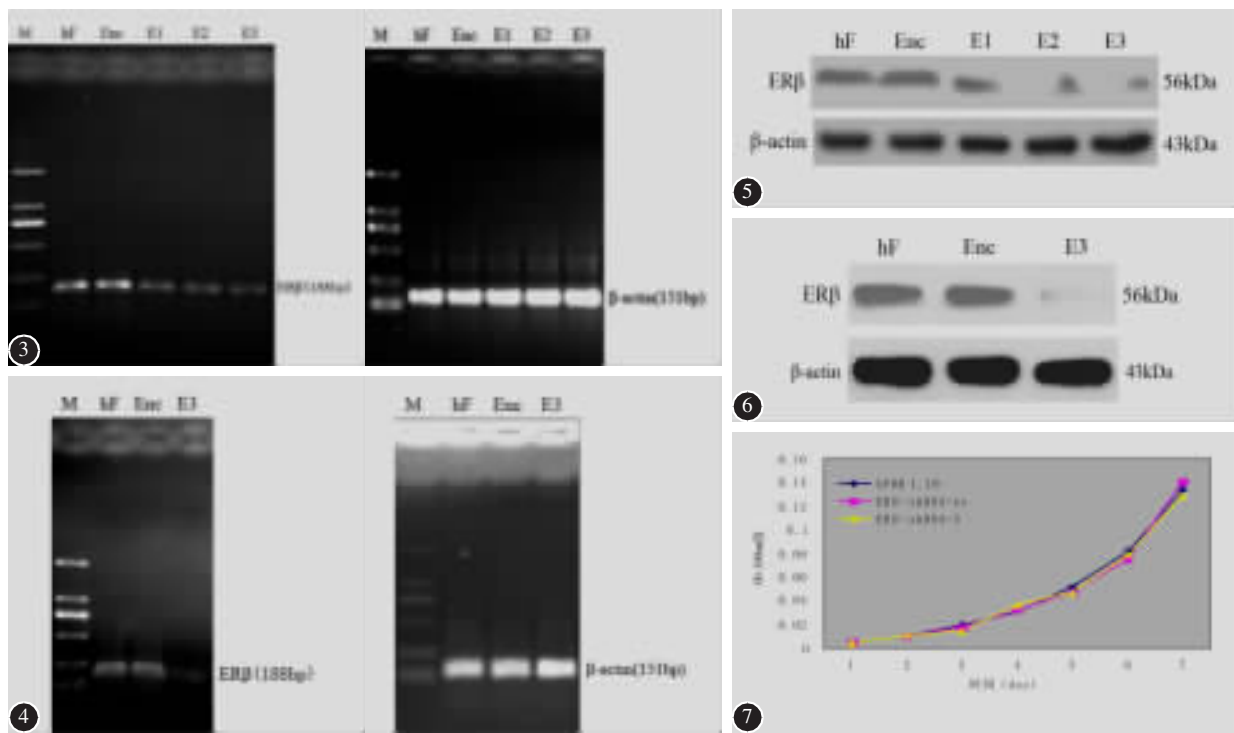
转录病毒提供了保障。

hFOB 1.19 是 Harris 等<sup>[8]</sup>于 1995 年建立的人永生化成骨细胞株。他们在 0.6mg/ml G418 存在下，用温度敏感的表达载体 pUCSVtsA58 转染自然流产的胎儿四肢组织，建立了此细胞株，并证实与人成骨细胞有高度同源性，表达碱性磷酸酶、骨钙素、I 型胶原等多种成骨细胞特异性标志，经体内试验证实具有成骨活性；更重要的是 hFOB 1.19 虽为永生化，但并无恶性肿瘤细胞特征，与其



**图 1** ER $\beta$ -shRNA 逆转录病毒重组质粒测序图 **图 2** ER $\beta$ -shRNA 逆转录病毒重组质粒成功、高效地转染 293 包装细胞的荧光表达图( $\times 50$ ) **a**、**c**、**e**、**g** 为普通光镜下，**b**、**d**、**f**、**h** 为荧光显微镜下 **a**、**b** ER $\beta$ -shRNA-nc 逆转录病毒重组质粒转染图(同一视野) **c**、**d** ER $\beta$ -shRNA-1 逆转录病毒重组质粒转染图(同一视野) **e**、**f** ER $\beta$ -shRNA-2 逆转录病毒重组质粒转染图(同一视野) **g**、**h** ER $\beta$ -shRNA-3 逆转录病毒重组质粒转染图(同一视野)

**Figure 1** Sequencing of ER $\beta$ -shRNA recombinant retroviral vectors **Figure 2** Fluorescence expressions of ER $\beta$ -shRNA recombinant retroviral vectors transfecting into 293 packaging cells successfully and efficiently **a**, **c**, **e**, **g** viewed under ordinary light microscope **b**, **d**, **f**, **h** viewed under fluorescence microscopy **a**, **b** ER $\beta$ -shRNA-nc(the same visual field) **c**, **d** ER $\beta$ -shRNA-1(the same visual field) **e**, **f** ER $\beta$ -shRNA-2(the same visual field) **g**, **h** ER $\beta$ -shRNA-3(the same visual field)



**图3** 瞬时感染后ER $\beta$ 及 $\beta$ -actin mRNA的RT-PCR电泳结果(M: Marker; hF: hFOB 1.19; Enc: ER $\beta$ -shRNA-nc; E1: ER $\beta$ -shRNA-1; E2: ER $\beta$ -shRNA-2; E3: ER $\beta$ -shRNA-3) **图4** 瞬时感染后ER $\beta$ 及 $\beta$ -actin蛋白的表达(hF: hFOB 1.19; Enc: ER $\beta$ -shRNA-nc; E1: ER $\beta$ -shRNA-1; E2: ER $\beta$ -shRNA-2; E3: ER $\beta$ -shRNA-3) **图5** 稳定感染后ER $\beta$ 及 $\beta$ -actin mRNA的RT-PCR电泳结果(M: Marker; hF: hFOB 1.19; Enc: ER $\beta$ -shRNA-nc; E3: ER $\beta$ -shRNA-3) **图6** 稳定感染后ER $\beta$ 及 $\beta$ -actin蛋白的表达(hF: hFOB 1.19; Enc: ER $\beta$ -shRNA-nc; E3: ER $\beta$ -shRNA-3) **图7** 三组细胞的生长曲线

**Figure 3** RT-PCR electrophoresis results of ER $\beta$  and  $\beta$ -actin mRNA after transient transfection(M: Marker; hF: hFOB 1.19; Enc: ER $\beta$ -shRNA-nc; E1: ER $\beta$ -shRNA-1; E2: ER $\beta$ -shRNA-2; E3: ER $\beta$ -shRNA-3) **Figure 4** Expression of ER $\beta$  and  $\beta$ -actin protein after transient transfection(hF: hFOB 1.19; Enc: ER $\beta$ -shRNA-nc; E1: ER $\beta$ -shRNA-1; E2: ER $\beta$ -shRNA-2; E3: ER $\beta$ -shRNA-3) **Figure 5** RT-PCR electrophoresis results of ER $\beta$  and  $\beta$ -actin mRNA after stable transfection(M: Marker; hF: hFOB 1.19; Enc: ER $\beta$ -shRNA-nc; E3: ER $\beta$ -shRNA-3) **Figure 6** Expression of ER $\beta$  and  $\beta$ -actin protein after stable transfection(hF: hFOB 1.19; Enc: ER $\beta$ -shRNA-nc; E3: ER $\beta$ -shRNA-3) **Figure 7** Growth curves of the three groups

**表2** 瞬时感染hFOB 1.19细胞后ER $\beta$ mRNA及蛋白的表达

**Table 2** Expression of ER $\beta$  mRNA and protein after transient transfecting hFOB 1.19

分组 Group	ER $\beta$ mRNA 相对表达量 ER $\beta$ mRNA relative expression level	ER $\beta$ 蛋白相对表达量 ER $\beta$ protein relative expression level
hFOB 1.19	0.8858±0.0295	0.6950±0.0217
ER $\beta$ -shRNA-nc	0.8789±0.0251	0.6898±0.0186
ER $\beta$ -shRNA-1	0.4025±0.0085 <sup>①</sup>	0.2835±0.0309 <sup>①</sup>
ER $\beta$ -shRNA-2	0.2693±0.0099 <sup>①</sup>	0.1504±0.0139 <sup>①</sup>
ER $\beta$ -shRNA-3	0.2082±0.0102 <sup>①</sup>	0.1001±0.0185 <sup>①</sup>

注:①与ER $\beta$ -shRNA-nc组和hFOB 1.19组相比,P<0.05

Note: ① compared to Group ER $\beta$ -shRNA-nc and Group hFOB 1.19, P<0.05

**表3** 稳定感染hFOB 1.19细胞后ER $\beta$ mRNA和蛋白的表达

**Table 3** Expression of ER $\beta$  mRNA and protein after stable transfecting hFOB 1.19

分组 Group	ER $\beta$ mRNA 相对表达量 ER $\beta$ mRNA relative expression level	ER $\beta$ 蛋白相对表达量 ER $\beta$ protein relative expression level
hFOB 1.19	0.8259±0.0340	0.6540±0.0269
ER $\beta$ -shRNA-nc	0.8189±0.0272	0.6486±0.0305
ER $\beta$ -shRNA-3	0.1385±0.0202	0.0451±0.0037

注:与ER $\beta$ -shRNA-nc组和hFOB 1.19组相比,P<0.05

Note: compared to Group ER $\beta$ -shRNA-nc and Group hFOB 1.19, P<0.05

他成骨样细胞株(如 MG-63、Saos-2 等)不同。因此 hFOB 1.19 提供了一个同质化的快速增殖模型系统,可用于研究正常人成骨细胞的分化、生理、生长因子,和其他对成骨细胞的功能及分化有影响的细胞因子<sup>[9-11]</sup>。

ER 基因作为影响骨代谢较重要的候选基因之一,与骨骼生长有关,且有研究表明,基因突变可导致骨质丢失和骨骼生长异常等<sup>[12]</sup>。目前关于 ER $\alpha$  基因与骨代谢的关系已有较多研究,而对 ER $\beta$  基因的研究则较少。曾有研究发现 ER $\beta$  基因敲除小鼠的长骨生长板长期保持不闭合状态,且纵向骨和四肢骨均出现相对地快速增长,说明 ER $\beta$  可能存在抑制生长板软骨细胞增殖及促进生长板闭合的作用<sup>[13]</sup>。但在这些动物模型中,ER $\beta$  对骨代谢的具体调节机制仍不清楚。而研究 ER $\beta$  如何参与骨代谢调节的最大障碍是缺少相应的 ER $\beta$  稳定抑制的细胞模型。因此,本研究中我们取最佳 RNAi 组的 hFOB 1.19 (即 ER $\beta$ -shRNA-3 组),使用潮霉素进行筛选,扩大培养后得到稳定感染克隆,通过半定量 RT-PCR 和 Western blot 检测表明,ER $\beta$ -shRNA-3 组的 ER $\beta$ mRNA 和蛋白的表达显著低于 ER $\beta$ -shRNA-nc 组及 hFOB 1.19 组( $P<0.05$ ),而 MTT 法检测显示各实验组细胞的生长无明显差异,表明 RNAi 特异性下调 ER $\beta$  后,未改变 hFOB 1.19 细胞的生物学特性。因此,我们成功建立了 ER $\beta$  稳定抑制的 hFOB 1.19 细胞模型,为进一步研究 ER $\beta$  基因在 AIS 骨代谢中的调节机制打下了良好的基础。

#### 4 参考文献

- Marosy B, Justice CM, Nzegwu N, et al. Lack of association between the aggrecan gene and familial idiopathic scoliosis[J]. Spine, 2006, 31(13): 1420-1425.
- Ogilvie JW, Braun J, Argyle V, et al. The search for idiopathic scoliosis genes[J]. Spine, 2006, 31(6): 679-681.
- Cheng JC, Qin L, Cheung CSK, et al. Generalized low areal and volumetric bone mineral density in adolescent idiopathic scoliosis[J]. J Bone Miner Res, 2000, 15(8): 1587-1595.
- 吴洁, 邱勇, 张乐, 等. 青少年特发性脊柱侧凸患者雌激素受体基因多态性与骨密度的关系[J]. 中国骨质疏松杂志, 2006, 12(3): 246-249.
- Zhang HQ, Lu SJ, Tang MX, et al. Association of estrogen receptor beta gene polymorphisms with susceptibility to adolescent idiopathic scoliosis[J]. Spine, 2009, 34(8): 760-764.
- Aagaard L, Rossi JJ. RNAi therapeutics: Principles, prospects and challenges[J]. Adv Drug Deliv Rev, 2007, 59(2-3): 75-86.
- Wojtkowiak A, Siek A, Alejska M, et al. RNAi and viral vectors as useful tools in the functional genomics of plants. Construction of BMV-based vectors for RNA delivery into plant cells[J]. Cell Mol Biol Lett, 2002, 7(2A): 511-522.
- Harris SA, Enger RJ, Riggs BL, et al. Development and characterization of a conditionally immortalized human fetal osteoblastic cell line[J]. J Bone Miner Res, 1995, 10(2): 178-186.
- Liu X, Lim JY, Donahue HJ, et al. Influence of substratum surface chemistry/energy and topography on the human fetal osteoblastic cell line hFOB 1.19: Phenotypic and genotypic responses observed in vitro [J]. Biomaterials, 2007, 28 (31): 4535-4550.
- Zhang Z, Zhang L, Hua Y, et al. Comparative proteomic analysis of plasma membrane proteins between human osteosarcoma and normal osteoblastic cell lines[J]. BMC Cancer, 2010, 10: 206.
- Verma D, Katti KS, Katti DR. Osteoblast adhesion, proliferation and growth on polyelectrolyte complex-hydroxyapatite nanocomposites [J]. Philos Transact A Math Phys Eng Sci, 2010, 368(1917): 2083-2097.
- Windahl SH, Norgard M, Kuiper G, et al. Cellular distribution of estrogen receptor  $\beta$  in neonatal rat bone [J]. Bone, 2000, 26(2): 117-121.
- Chagin AS, Lindberg MK, Andersson N, et al. Estrogen receptor-beta inhibits skeletal growth and has the capacity to mediate growth plate fusion in female mice[J]. J Bone Miner Res, 2004, 19(1): 72-77.

(收稿日期:2011-10-24 修回日期:2012-02-26)

(英文编审 蒋欣/贾丹彤)

(本文编辑 彭向峰)